

# مطالعه‌ی موردنی بر روی تأثیر شکل گودال‌های باز و پر در کاهش ارتعاشات ناشی از عبور قطار

جبارعلی ذاکری\*

و قضی اسماعیلی (دانشیار)

سیدعلی مسیبی (دانشجوی دکتری)

دانشکده‌ی هندسی راه‌آهن، دانشگاه علم و صنعت ایران

مهمنگی عمران شرکت (پیمان ۱۳۹۴) / ۱۰، شماره ۱ / ۱۰، ص ۸۷-۸۱، (پادشاهی فرانسه)

به علت توسعه‌ی احداث خطوط مترو و راه‌آهن در مناطق شهری کشورهای جهان، بیشتر شهرها با مشکل نزدیکی خطوط راه‌آهن به برخی از مناطق حساس به ارتعاش مواجه‌اند. در این بین، از عمله روش‌های کاهش ارتعاش در منبع و مسیر می‌توان به گودال‌های باز و پر اشاره کرد. با عنایت به آنکه در خصوص تأثیر شکل گودال‌های کناری، پژوهش‌های مشخصی صورت نگرفته است؛ لذا در این پژوهش با تمرکز بر گودال‌های باز و پر به بررسی اثر سه شکل گودال مستطیلی، پلکانی و مثلثی پرداخته شده و برای این منظور از روش عددی اجزاء محدود/نامحدود (اجزاء میراگر و جاذب انرژی) استفاده شده است. نتایج حاصل از تحلیل عددی، نشان‌دهنده آن است که گودال مثلثی و پلکانی در هر دو حالت باز و پر نسبت به گودال مستطیلی با توجه به مساحت برابر و در نظرگرفتن بار متنابض قطار، کارایی بهتری دارند.

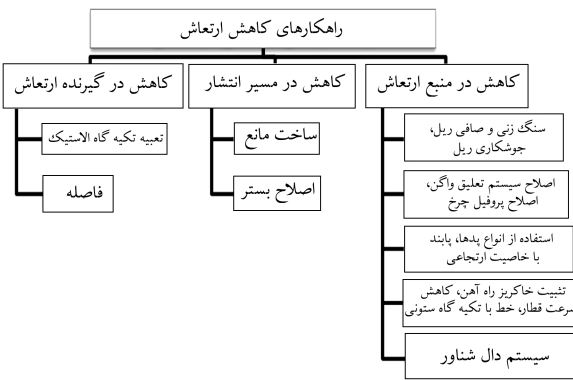
واژگان کلیدی: ارتعاشات محیطی، روش‌های کاهش ارتعاش، گودال‌های باز و پر،  
بار متنابض، روش اجراء محدود و نامحدود.

## ۱. مقدمه

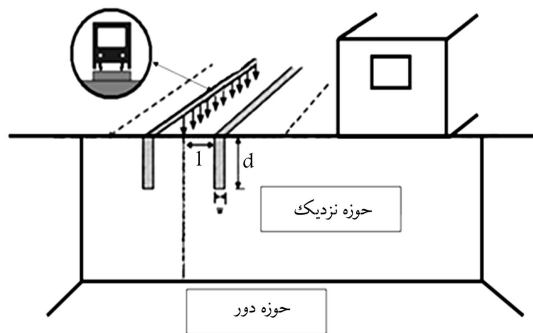
توسعه‌ی حمل و نقل ریلی با تکیه بر افزایش سرعت و بار محوری در سال‌های اخیر با پیشرفت قابل ملاحظه‌ی رو برو بوده است. چنانچه سر و صدا و ارتعاش زمینی ناشی از سیستم‌های حمل و نقل ریلی کنترل نشود، می‌تواند تأثیرات قابل توجهی در مناطق مسکونی و دیگر مکان‌های حساس به ارتعاش بگذارد. در سال‌های اخیر با توجه به اعمال ملاحظات زیستمحیطی ساخت‌گیرانه، ارتعاشات ناشی از قطار و تأثیر آن در آسایش انسان و عملکرد تجهیزات حساس از طرف مهندسان، پژوهشگران، و برنامه‌ریزان حمل و نقل شهری مورد توجه بیشتری قرار گرفته است. ارتعاش زمینی ناشی از حرکت قطار، یک مسئله‌ی پیچیده‌ی دینامیکی است. انواع مختلف ارتعاشات می‌تواند با عبور قطاراتها و به دلیل ناهمواری‌های سطح چرخ و ریل و نوسان وسیله‌ی نقلیه روی تراورس‌ها، تولید شود. انتشار امواج می‌تواند از طریق سازه‌ی خط شامل: ریل، تراورس، بالاست، بستر خاک انتقال یافته و پس از آن با رسیدن به ساختمان‌های واقع در نزدیکی خط، سبب ناراحتی و سلب آسایش ساکنین شود. انتقال ارتعاشات ناشی از حرکت قطار به زیرساخت‌ها و سازه‌های مجاور به صورت تولید ارتعاش سیستم خط تحت اثر تحریک ناشی از بار تکراری منظم چرخ بر روی ریل، انتشار ارتعاشات در محیط اطراف و انتقال به ساختمان‌های مجاور صورت می‌گیرد.<sup>[۱]</sup> راهکارهای کاهش ارتعاش زمینی به صورت کاهش ارتعاش در منبع ارتعاش، در مسیر انتشار و در گیرنده ارتعاش تشریح شده و در ادامه، عوامل

\* نویسنده مسئول

تاریخ: دریافت ۱۹/۰۹/۱۳۹۰، اصلاحیه ۲۷/۰۲/۱۳۹۱، پذیرش ۳/۰۴/۱۳۹۱.



شکل ۱. روش‌های کاهش ارتعاشات ناشی از قطار.



شکل ۲. ایجاد گودال مستطیلی در حریم خط آهن.

مؤثر در گودال‌ها به عنوان مهم‌ترین روش‌های کاهش ارتعاشات ناشی از قطار مورد بررسی قرار گرفته است. با توجه به آنکه در خصوص تأثیر شکل گودال‌های کناری در کاهش ارتعاشات تحقیق مشخصی صورت نگرفته است؛ لذا، در این پژوهش با تمرکز بر گودال‌های باز و پرشده از بنن به بررسی اثر سه شکل گودال مستطیلی، پلکانی، و مثلثی در کاهش ارتعاش پرداخته شده و برای این منظور از مدل‌سازی پدیده‌ی ارتعاش ناشی از حرکت قطار با روش عددی اجزاء محدود/نامحدود استفاده شده است. برای مقایسه اثر کارایی گودال‌ها از نسبت کاهش دامنه‌ی  $A_r$  استفاده شده است.<sup>[۱۹]</sup>

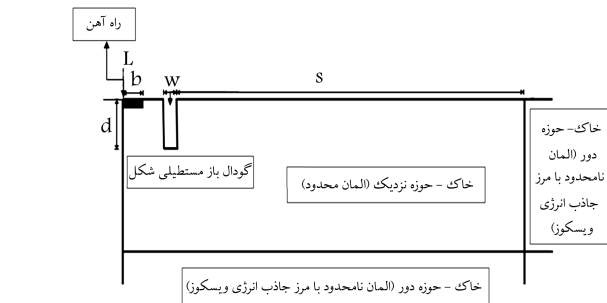
بعد از اعتبارسنجی نتایج تحقیق با کارهای انجام‌شده دیگر پژوهشگران،<sup>[۱۲]</sup> با درنظرگرفتن هر دو روش اعمال شرایط مرزی با استفاده از اجزاء نامحدود و اجراء میراگر برای گودال مستطیلی شکل، اثر سه شکل گودال‌های مستطیلی، پلکانی، و مثلثی هم در حالت باز و هم در حالت پر در کاهش ارتعاشات قطار با توجه به مساحت برابر و در نظرگرفتن بار هارمونیک قطار مورد بررسی و مقایسه قرار گرفته است.

## ۲. راهکارهای کاهش ارتعاشات ناشی از قطار

راهکارهای کاهش ارتعاش زمینی به چندین گروه قابل تقسیم هستند که در شکل ۱ نشان داده شده‌اند. از جمله مهم‌ترین روش‌های کاهش ارتعاش ناشی از قطار در سازه‌های حساس، ساخت مانع در مسیر انتشار ارتعاش مثل گودال، گودال و یا دیوار است (شکل ۲). عمق بهینه‌ی گودال‌های پرشده در تحقیقات قبلی حدود  $1/2$  برابر طول موج رایله به دست آمده است. مهم‌ترین یافته‌های به دست آمده در خصوص تأثیر گودال‌های باز و پر و همچنین پی کشسان برای کنترل و کاهش ارتعاشات ناشی از حرکت قطار در سازه‌های اطراف به طور خلاصه در جدول ۱ ارائه شده است.<sup>[۱۰]</sup>

جدول ۱. مهم‌ترین یافته‌های به دست آمده در خصوص گودال‌های باز و پر و همچنین پی کشسان.<sup>[۲۰]</sup>

روش‌های کاهش ارتعاش	نکات و نتایج به دست آمده
گودال باز	-- عمق گودال نرمал شده عامل غالب است؛ عرض نرمال شده به طورکلی، به جز برای گودال‌های کم عمق مهم نیست. -- گودال‌های باز تمايل به علیق‌بندی ارتعاش عمودی مؤثرتری از ارتعاش افقی دارند. -- تأثیر چگالی و نسبت میرایی و همچنین محل قرارگیری گودال‌ها، در علیق‌بندی ارتعاشات می‌تواند نادیده گرفته شود. -- به منظور دستیابی به یک اثر خوب علیق‌بندی، گودال‌های باز یا پر باید ضریبی از طول موج رایله خاک باشند. در نتیجه، علیق‌بندی ارتعاشات زمینی توسط گودال‌ها فقط برای ارتعاشات بسامد متوسط تا بالا مؤثر است.
گودال پر	-- عمق و عرض گودال باید به ترتیب شرایط $1 < \frac{d}{\lambda_R}$ و $0 < \frac{w}{\lambda_R^{1/3}}$ را به منظور رسیدن به اثر مطلوب علیق‌بندی ارضا کند -- طول موج رایله است).
پی کشسان	-- عملکرد گودال‌های پر با سختی بیشتر از خاک اطراف عملکرد بهترین نسبت به گودال‌های پرشده با مصالح نرم دارد. -- خاک‌ها با نسبت‌های پیاسون بالا می‌توانند اثر علیق‌بندی گودال‌های پر را کاهش دهند، به این دلیل که نسبت‌های پیاسون بزرگ به طورقابل ملاحظه‌یی به طول موج فشاری بزرگ‌تر منجر خواهد شد. -- گودال پر سخت‌تر (یا نرم‌تر) بسته به شرایط خاک اطراف، اثر علیق‌بندی بهتری دارد.
پی کشسان	-- برای امواج با بسامدهای بالاتر، به طورکلی گودال‌ها و پی کشسان در کاهش دامنه‌های ارتعاش مؤثر هستند، با این حال، برای امواج از بسامدهای پایین‌تر، پاسخ می‌تواند به طور معکوس با استفاده از گودال‌های باز و یا پی کشسان تشدید شود. -- در پی‌های کشسان، تشک ضخامت $5^{\circ}$ را باید داشته باشد، تا علیق‌بندی قابل قبول به دست آید.



شکل ۴. استفاده از اجزاء محدود/نامحدود (اجزاء محدود/مرز جاذب انرژی) با وجود گودال باز مستطیلی شکل جهت مدل سازی.

اغلب در چنین تحلیل های برای جلوگیری از وابستگی نتایج تحلیل به بسامد تحریک، تمام پارامترهای هندسی مورد استفاده نسبت به طول موج رایله  $\lambda_R$  نرمال شده است.<sup>[۲۰]</sup>

با استفاده از مشخصات خاک، سرعت موج برشی  $C_S = 10\sqrt{11} \text{ m/s}$  سرعت موج رایله  $C_R = 93.02 \text{ m/s}$  و طول موج رایله  $\lambda_R = 3 \text{ m}$  انتخاب شده اند.<sup>[۲۱]</sup>

پارامترهای هندسی گودال باز که در این نوشتار بی بعد شده اند، عبارت اند از: فاصله از خط مرکزی راه آهن  $w = W \cdot \lambda_R$ ، عمق  $l = L \cdot \lambda_R$ ،  $d = D \cdot \lambda_R$ ، عرض  $s = S \cdot \lambda_R$  و نیمی از عرض راه آهن  $b = B \cdot \lambda_R$  و محدوده مورد بررسی  $A_r = \frac{1}{s} \int A_r(x) dx$  که در آن  $\lambda_R$  طول موج رایله و  $L$  و  $D$  و  $W$  پارامترهای بی بعد هستند. حل مسئله به صورت نرم افزاری و با استفاده از روش اجزاء محدود و اجراء نامحدود صورت گرفته است. فاصله از خط یک متر، عمق گودال یک متر، عرض آن  $33^0$  مترو و طول  $s$  حدود ۹ متر فرض شده و بدین ترتیب مساحت گودال باز برابر با  $3 \text{ m}^2$  مترمربع می شود. در تحلیل دینامیکی چنین سازه بی، برای شبیه سازی مرزها می توان دو نوع رویکرد در نظر گرفت. رویکرد اول، استفاده از اجزاء نامحدود است که بازگشت امواج برشی و حجمی به داخل شبکه ای اجزاء محدود را به کمترین میزان می رساند و رویکرد دوم، استفاده از مرز جاذب انرژی یا مرز گران روی است. رفتار محیط در فواصل دور از اجزاء محدود خطی و ایزوتروپیک فرض شده است که برای بخش نامحدود از اجراء نامحدود خطی CINPE<sup>۴</sup> با ۴ گره استفاده شد، که برای تحلیل مسائل کرشنصفحه بی به کارمی روید و در رویکرد دوم، اجزاء میراگر در مرزها قرار داده شده است که ضریب این اجزاء میراگر به صورت  $F_d = C_d u$  در نظر گرفته می شود و این ضریب برای یک سطح به صورت  $C_d = \rho v_s A$  فرض می شود. در این تحلیل، بار قطار به شکل بار متناوب سینیوسی و سینیس به صورت کسینیوسی در نظر گرفته شده و در انتهای نتایج با استفاده از اصل جمع آثار قوا از دو بار متناوب به دست آمده است. برای اعتبار بخشی محاسبات، نتایج به دست آمده با نتایج روش ارائه شده Ni و همکاران<sup>[۱۷]</sup> مقایسه شده است. تغییرات  $A_r$  برای این مطالعه با فرض دو حالت برای شرایط مرزی، تطابق مناسبی با حل ارائه شده Ni و همکاران<sup>[۱۸]</sup> دارد که این موضوع مؤید اعتبار روش حل عددی حاضر و قابلیت تعیین آن به گودال ها با دیگر اشکال است.<sup>[۲۲, ۲۱]</sup>

#### ۴. مقایسه عددی گودال های پلکانی و شکل با گودال مستطیلی شکل

پس از اعتبار سنجی نتایج و همچینی بررسی رفتار ارتعاش ذرات در داخل محیط

### ۳. مدل سازی شکل گودال و بررسی عددی آن

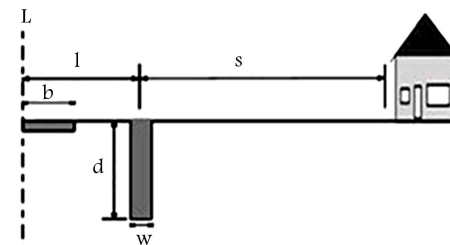
اغلب گودال ها جهت کاهش ارتعاشات ناشی از قطار به طور موازی با خط آهن در طرفین آن ساخته می شوند و این موضوع باعث شکل گیری تقارن در سازه هاست. بستر خط شده است، به طوری که فقط نیمی از سازه را می توان مدل سازی کرد. هندسه های مسئله به صورت یک حوزه نزدیک (قسمت اول) و یک حوزه دور نامحدود (قسمت دوم) در نظر گرفته می شود. مانع موج، خط آهن، و خاک های اطراف در حوزه نزدیک قرار می گیرند و اغلب از لحاظ هندسی نامنظم و از لحاظ مصالح غیرهمگن هستند. این منطقه با روش اجراء محدود مدل سازی می شود. حوزه دور، خاک بستر خط آهن با مرزهای نامحدود است که گاهی همگن و گاهی به صورت خاک های لایه لایه، با یا بدون سنگ بستر است. سازه های مدل شده ای این حوزه شرایط کرنش صفحه بی برای مشخصات دو بعدی از نیم فضا را خواهد داشت. از طرفی، بار قطار به صورت بارهای متناوب بود و در بخش میانی خط آهن اعمال می شود. در خصوص خاک بستر، میرایی هیسترزیس<sup>۱</sup> فرض شده است و محيط آن به عنوان یک محیط ویسکو کشسان ایزوتروپیک مدل خواهد شد (شکل های ۳ و ۴). مدل سازی این نوشتار به صورت نیمی از محیط نیم فضا بود و تحت اثر بار ناشی از حرکت قطار فلز داده شده است. موانع موج با استفاده از نسبت کاهش دامنه<sup>۲</sup> تعریف شده و مورد ارزیابی قرار می گیرد:<sup>[۱۹]</sup>

$$(1) \quad \frac{\text{مقدار جابجایی سطح زمین با مانع}}{\text{مقدار جابجایی سطح زمین بدون مانع}} = \frac{\text{مقدار جابجایی سطح زمین با مانع}}{\text{مقدار جابجایی سطح زمین بدون مانع}}$$

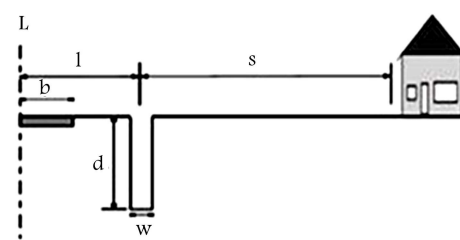
در صورتی که لزوم محاسبه بی پاسخ خاک فراتر از محدوده  $s$  از مانع باشد، لازم است نسبت کاهش متوسط دامنه ( $\bar{A}_r$ )<sup>۳</sup> به صورت رابطه ۲ محاسبه شود.

$$(2) \quad \bar{A}_r = \frac{1}{s} \int A_r(x) dx$$

که در آن  $s$  محدوده بین گودال و گیرنده ای رفع اش است. لازم به توضیح است که عملکرد مناسب تر مانع کاهش انتشار امواج مربوط به مقدار کوچکتر  $\bar{A}_r$  است.

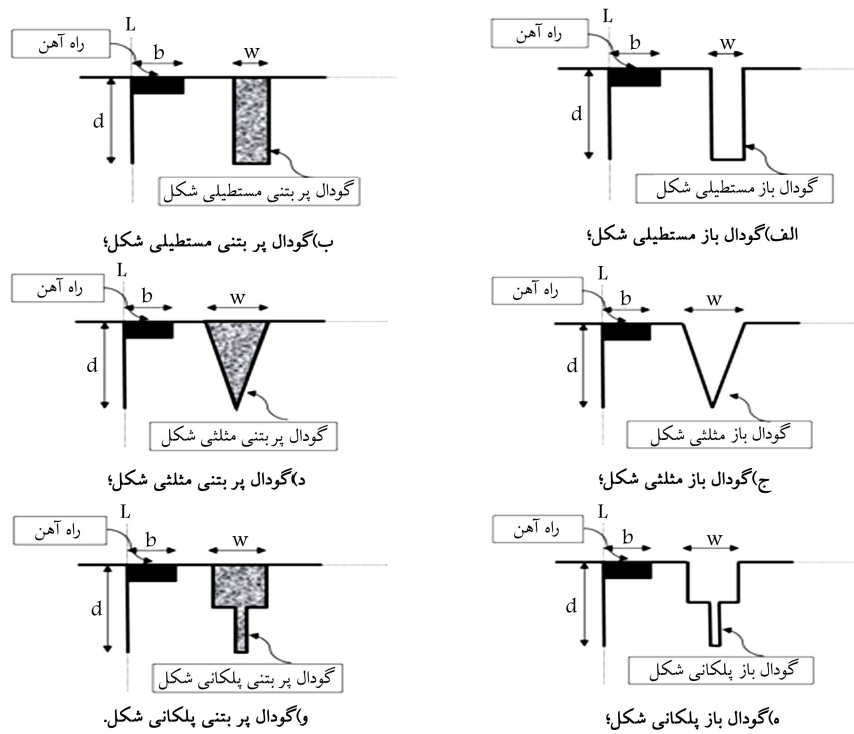


(الف) گودال پر شده از بتن؛



(ب) گودال باز.

شکل ۳. طرح شماتیک انتقال ارتعاش در گودال باز و پر.



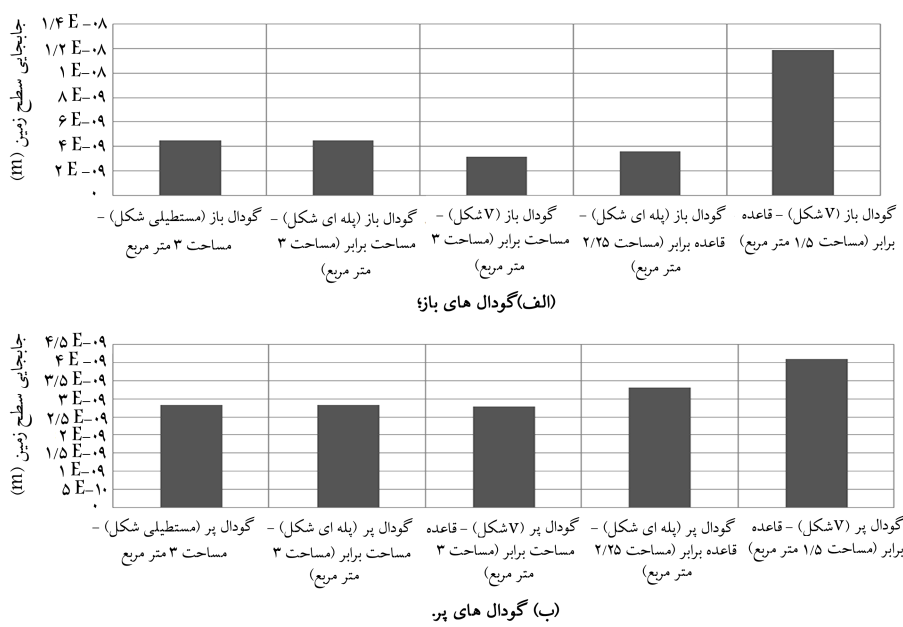
شکل ۵. مدل‌سازی انواع مختلف گودال‌های باز و پر مستطیلی، مثلثی و پلکانی شکل.

جدول ۲. مقایسه‌ی انواع مختلف گودال‌های باز و پر تحت بار متنابض قطار.

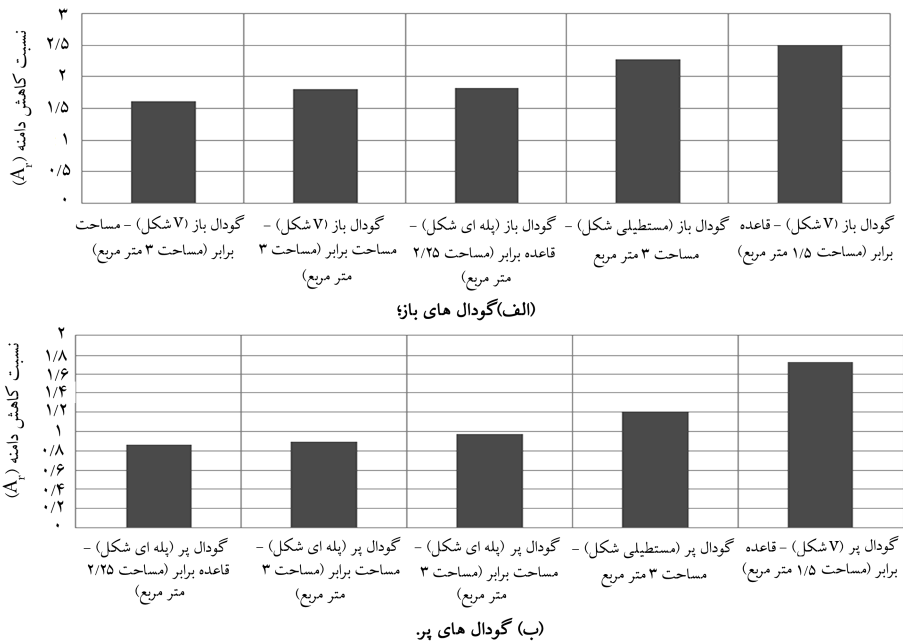
نسبت کاهش دامنه	جایجاپی سطح زمین بدون گودال (متر)						انواع گودال	
	تحت بار			جایجاپی سطح زمین با گودال (متر)				
	تحت بار سینوسی و کسینوسی	تحت بار سینوسی	تحت بار کسینوسی	تحت بار سینوسی و کسینوسی	تحت بار سینوسی	تحت بار کسینوسی		
۱/۲۸	$1,99E-0.9$	$-8,16E-11$	$1,99 E-0.9$	$4,03E-0.9$	$2,09E-0.9$	$4,03E-0.9$	گودال باز (مستطیلی شکل)	
۱/۸۰	$2,49E-0.9$	$2,01E-0.9$	$1,49E-0.9$	$4,51E-0.9$	$4,14E-0.9$	$1,80E-0.9$	گودال باز (پلکانی شکل) - مساحت برابر	
۱/۶۱	$1,99E-0.9$	$1,24E-0.9$	$1,53E-0.9$	$3,18E-0.9$	$1,87E-0.9$	$2,58E-0.9$	گودال باز (۷ شکل) - مساحت برابر	
۱/۸۲	$1,99E-0.9$	$-8,16E-11$	$1,99 E-0.9$	$3,63E-0.9$	$9,30E-10$	$3,52E-0.9$	گودال باز (پلکانی شکل) - قاعده‌ی برابر (مساحت کمتر)	
۲/۴۸	$4,777E-0.9$	$3,65E-0.9$	$3,07E-0.9$	$1,18E-0.8$	$1,18E-0.8$	$1,43E-0.9$	گودال باز (۷ شکل) - قاعده‌ی برابر (مساحت کمتر)	
۱/۲۰	$2,22E-0.9$	$4,88E-1.0$	$2,28 E-0.9$	$2,81E-0.9$	$-4,39E-1.0$	$2,78E-0.9$	گودال پر (مستطیلی شکل)	
۰/۸۹	$3,16E-0.9$	$1,95E-0.9$	$2,39E-0.9$	$2,82E-0.9$	$1,17E-0.9$	$2,57E-0.9$	گودال پر (پلکانی شکل) - مساحت برابر	
۰/۹۷	$2,85E-0.9$	$2,51E-0.9$	$1,36E-0.9$	$2,77E-0.9$	$8,52E-1.0$	$2,65E-0.9$	گودال پر (۷ شکل) - مساحت برابر	
۰/۸۵	$3,85E-0.9$	$-1,41E-1.0$	$3,85E-0.9$	$3,30E-0.9$	$-2,10E-1.0$	$3,30E-0.9$	گودال پر (پلکانی شکل) - قاعده‌ی برابر (مساحت کمتر)	
۱/۷۳	$2,34E-0.9$	$2,54E-1.0$	$2,33E-0.9$	$4,08E-0.9$	$7,68E-1.0$	$4,01E-0.9$	گودال پر (۷ شکل) - قاعده‌ی برابر (مساحت کمتر)	

استفاده از جمع آثار قوا به صورت حاصل جمع دو بار متنابض به دست آمده است. همچنین اثر ۳ شکل مختلف گودال با توجه به نسبت  $A_r$  و همچنین جایجاپی سطح زمین با وجود گودال به صورت نمودار ستونی مورد بررسی و مقایسه قرار گرفته است، که نتایج حاصل از آن در جدول ۲ و شکل‌های ۶ و ۷ برای جایجاپی سطح زمین با وجود گودال ارائه شده است. در این تحلیل، بار قطار ابتدا به صورت همان‌طور که در جدول ۲ و شکل‌های ۶ و ۷ مشاهده می‌شود، بیشینه‌ی مقدار

خاک، اثر شکل گودال‌های باز و پر مختلف از جمله گودال مستطیلی، مثلثی، و پلکانی همان‌طور که در شکل ۵ نشان داده شده است، مورد بررسی و مقایسه قرار گرفته است، که نتایج حاصل از آن در جدول ۲ و شکل‌های ۶ و ۷ برای جایجاپی سطح زمین با وجود گودال ارائه شده است. در این تحلیل، بار قطار ابتدا به صورت بار متنابض سینوسی و بعد به صورت کسینوسی در نظر گرفته شده و سپس نتایج با



شکل ۶. مقایسه‌ی جابجایی سطح زمین در انواع مختلف گودال‌های باز و پر (m<sup>2</sup>).



شکل ۷. مقایسه‌ی نسبت کاهش دامنه (A<sub>d</sub>) در انواع مختلف گودال‌های باز و پر (بی بعد).

کمتر از گودال پر مستطیلی شکل شده است. همچنین بیشینه‌ی مقدار A<sub>d</sub> برای گودال باز پلکانی شکل حدود ۰,۷٪ کمتر از گودال باز مستطیلی شکل شده است. همچنین بیشینه‌ی مقدار A<sub>d</sub> برای گودال باز مثلثی شکل با مساحت برابر با گودال مستطیلی شکل حدود ۲۸,۹٪ کمتر از گودال پر مستطیلی شکل شده است. مقایسه‌ی حاصل از بررسی انواع مختلف گودال‌های باز و پلکانی و مثلثی شکل در مقایسه با گودال مستطیلی شکل در جدول‌های ۳ و ۴ آمده است، همان‌طور که ملاحظه می‌شود در بین انواع مختلف گودال‌های باز گودال باز مثلثی شکل با مساحت برابر با مساحت مستطیلی شکل (مساحت ۳ مترمربع) دارای بیشترین درصد کاهش ارتعاش است و در بین انواع مختلف گودال‌های پر گودال پر مستطیلی شکل دارای بیشترین درصد کاهش ارتعاش است.

A<sub>d</sub> برای گودال باز پلکانی شکل با مساحت برابر با گودال مستطیلی شکل حدود ۰,۷٪ کمتر از گودال باز مستطیلی شکل شده است. همچنین بیشینه‌ی مقدار A<sub>d</sub> برای گودال باز مثلثی شکل با مساحت برابر با گودال مستطیلی شکل حدود ۱۹,۸٪ کمتر از گودال باز مستطیلی شکل، و نیز بیشینه‌ی مقدار A<sub>d</sub> برای گودال باز پلکانی شکل با مساحت برابر با گودال مستطیلی شکل حدود ۱۹,۸٪ کمتر از گودال باز مستطیلی شکل شده است. همچنین با مشاهده نتایج گودال‌های پر می‌توان نتیجه گرفت که بیشینه‌ی مقدار A<sub>d</sub> برای گودال پر پلکانی شکل با مساحت برابر با گودال مستطیلی شکل با مشاهده نتایج گودال‌های پر می‌توان نتیجه گرفت که بیشینه‌ی مقدار A<sub>d</sub> برای گودال پر مستطیلی شکل و نیز بیشینه‌ی مقدار A<sub>d</sub> برای گودال پر مثلثی شکل با مساحت برابر با گودال مستطیلی شکل حدود ۱۹,۴٪ است.

با توجه به آنکه تحقیق مشخصی درخصوص تأثیر شکل گودال‌های کناری در کاهش ارتعاشات صورت نگرفته است، لذا در این پژوهش، با تمرکز بر گودال‌های باز و پرشده از بتون به بررسی اثر سه شکل گودال‌های مستطیلی، پلکانی، و مثلثی در کاهش ارتعاش ناشی از قطار پرداخته شده و برای این منظور از مدل‌سازی پدیده‌ی ارتعاش ناشی از حرکت قطار به روش عددی اجزاء محدود/نمحدود (اجزاء میراگر) استفاده شده است. مهم‌ترین یافته‌های این پژوهش می‌تواند به این صورت خلاصه شود:

۱. با تحلیل عددی صورت‌گرفته، نتایج نشان می‌دهند که مؤلفه‌ی  $w$  (حرکت ذرات خاک در جهت افقی) نسبت به  $w$  (حرکت ذرات خاک در جهت قائم) با نسبت شدیدتری مستهلك می‌شود و درنتیجه اگر از گودال‌های پلکانی و  $\nabla$ -شکل استفاده کنیم، ارتعاشات نسبت به گودال‌های مستطیلی‌شکل با مساحت برابر کمتر می‌شود.

۲. بیشینه‌ی مقدار  $A_r$  برای گودال باز پلکانی‌شکل با مساحت برابر با گودال مستطیلی‌شکل حدود ۷٪/کمتر از گودال باز مستطیلی‌شکل می‌شود. همچنین بیشینه‌ی مقدار  $A_r$  گودال باز  $\nabla$ -شکل با مساحت برابر با گودال مستطیلی‌شکل حدود ۸٪/کمتر از گودال باز مستطیلی‌شکل می‌شود.

۳. بیشینه‌ی مقدار  $A_r$  برای گودال باز پلکانی‌شکل با قاعده‌ی برابر و مساحت کمتر از گودال مستطیلی‌شکل حدود ۸٪/کمتر از گودال باز مستطیلی‌شکل می‌شود.

۴. با مشاهده نتایج گودال‌های پر می‌توان نتیجه گرفت که بیشینه‌ی مقدار  $A_r$  گودال پر پلکانی‌شکل با مساحت برابر با گودال مستطیلی‌شکل حدود ۱٪/۲۶،۱ کمتر از گودال پر مستطیلی‌شکل می‌شود.

۵. بیشینه‌ی مقدار  $A_r$  برای گودال پر  $\nabla$ -شکل با مساحت برابر با گودال مستطیلی‌شکل حدود ۴٪/کمتر از گودال پر مستطیلی‌شکل می‌شود.

۶. بیشینه‌ی مقدار  $A_r$  برای گودال پر پلکانی‌شکل با قاعده‌ی برابر و مساحت کمتر از گودال مستطیلی‌شکل حدود ۹٪/کمتر از گودال پر مستطیلی‌شکل می‌شود.

جدول ۳. درصد ارتعاش انواع گودال‌های باز نسبت به گودال باز مستطیلی‌شکل.

مسیزان ارتعاش	نسبت به گودال باز	انواع گودال	مستطیلی‌شکل (%)
گودال باز (پلکانی‌شکل) - مساحت برابر (مساحت $3m^2$ )	- ۲۰،۷۳	$3m^2$	
گودال باز ( $\nabla$ -شکل) - مساحت برابر (مساحت $3m^2$ )	- ۲۸،۹۸	$3m^2$	
گودال باز (پلکانی‌شکل) - قاعده‌ی برابر (مساحت $2/25m^2$ )	- ۱۹،۸۹	$2/25m^2$	
گودال باز ( $\nabla$ -شکل) - قاعده‌ی برابر (مساحت $1/5m^2$ )	۹،۱۷	$1/5m^2$	

جدول ۴. درصد ارتعاش انواع گودال‌های پر نسبت به گودال پر مستطیلی‌شکل.

مسیزان ارتعاش	نسبت به گودال پر	انواع گودال	مستطیلی‌شکل (%)
گودال پر (پلکانی‌شکل) - مساحت برابر (مساحت $3m^2$ )	- ۲۶،۱۵	$3m^2$	
گودال پر ( $\nabla$ -شکل) - مساحت برابر (مساحت $3m^2$ )	- ۱۹،۴۵	$3m^2$	
گودال پر (پلکانی‌شکل) - قاعده‌ی برابر (مساحت $2/25m^2$ )	- ۲۹،۰۵	$2/25m^2$	
گودال پر ( $\nabla$ -شکل) - قاعده‌ی برابر (مساحت $1/5m^2$ )	۴۳،۷۱	$1/5m^2$	

## ۵. نتیجه‌گیری

خطوط راه‌آهن و مترو باید تا آنجا که امکان دارد دور از سازه‌های حساس انتخاب شوند. اما این کار با توجه به ساختمان‌های مسکونی و مستله‌ی هزینه‌های تمییک و همچنین نقاط اجباری مورد نظر برای ساخت ایستگاه‌ها و دسترسی‌ها این امکان را در خطوط راه‌آهن و مترو شدیداً محدود می‌کند. لذا باید سعی شود از روش‌هایی برای کاهش ارتعاش در کاهش ارتعاشات ناشی از قطار در محیط اطراف استفاده از گودال‌های بازو پر در حریم جانبی خط است؛ و تحقیقات انجام‌شده مبنی بر آن است که به طور معمول از گودال‌های مستطیلی‌شکل برای این منظور استفاده شده است.

## پانوشت‌ها

1. Hysteretic damping
2. amplitude reduction ratio
3. average amplitude reduction ratio

## منابع (References)

1. Zakeri, J.A. and Xia, H. "Application of 2D-infinite beam elements in dynamic analysis of railway track", *Journal of Mechanical Science and Technology*, **23**(5), pp. 1415-1421 (2009).
2. Esmaeili, M. and Fesharaki, M. "The effect of railway embankment on vibration attenuation in railway track", *Journal of Transportation Engineering*, **1(2)**, pp. 61 (in Persian) (2010).
3. Esmaeili, M. and Fesharaki M. "An investigation into the effect of asphalt concrete on vibration reduction in railway tracks", *Sharif Journal Civil Engineering*, **27**(2), pp. 101-106 (in Persian) (2011).
4. Lysmer, J. and Waas, G. "Shear waves in plane infinite structures", *J. Eng. Mech. Div., ASCE*, **98**(EM1), pp. 85-105 (1972).
5. Segol, G., Lee, C.Y. and Abel, J.F. "Amplitude reduction of surface waves by trenches", *J. Eng. Mech. Div., ASCE*, **104**(3), pp. 621-641 (1978).
6. Yang, Y.B. and Hung, H.H. "A parametric study of wave barriers for reduction of train-induced vibrations", *Int. J. Num. Meth. Eng.*, **40**(20), pp. 3729-3747 (1997).

7. Hung, H.H., Yang, Y.B. and Chang, D.W. "Wave barriers for reduction of train-induced vibrations in soils", *J. Geo. & Geoenvironmental Eng.*, **130**(12), pp. 1283-1291 (2004).
8. Pao, Y.H. and Mow, C.C. "Scattering of plane compressional waves by a spherical obstacle", *J. Appl. Phys.*, **34**, pp. 493-499 (1963).
9. Thau, S.A. and Pao, Y.H. "Diffractions of horizontal shear waves by a parabolic cylinder and dynamic stress concentrations", *J. Appl. Mech., ASME*, **33**(4), pp. 785-792 (1966).
10. Woods, R.D. "Screening of surface waves in soils", *J. Soil Mech. Found. Div.*, **94**(SM 4), pp. 951-979 (1968).
11. Ahmad, S., Al-Hussaini, T.M. and Fishman, K.L. "Investigation on active isolation of machine foundations by open trenches", *J. Geot. Eng., ASCE*, **122**(6), pp. 454-461 (1996).
12. Ni, S.H., Feng, Z.Y. and Tsai, P.S. "Analysis of the vibration response and screening effectiveness of strip foundations", *J. Chinese Inst. Civil and Hydraulic Eng.*, **6**(3), pp. 269-277 (1994).
13. Al-Hussaini, T.M. and Ahmad, S. "Active isolation of machine foundations by in-filled trench barriers", *J. Geot. Eng., ASCE*, **122**(4), pp. 288-294 (1996).
14. Andersen, L. and Nielsen, S.R.K. "Reduction of ground vibration by means of barriers or soil improvement along a railway track", *Soil Dynamics and Earthquake Engineering*, **25**(7-10), pp. 701-716 (2005).
15. Yeh, C.S., Liao, W.I., Tsai, J.F. and Teng, T.J. "Train induced ground motion and its mitigation by trench and WIB", Report of NCREE-97-009 (in Chinese) (1997).
16. Guang Yun, G., Gang, S., ShiJin, F., and Chang, Q., "3D analysis of in-filled trench as passive barriers for ground vibration isolation", *Science in China Series. G: Physics, Mechanics and Astronomy*, **51**(10), pp. 1573-1585 (2008).
17. Müller, R., *Mitigation Measures for Open Lines Against Vibration and Ground-Borne Noise: A Swiss Overview*, SBB Rail Environmental Center, Hochschulstrasse 6, Bern 65, Switzerland (2008).
18. Kawamura, S., Ito, S., Yoshida, T., and Minamoto, H., "Isolation effect of a dynamic dashpot and a trench on ground vibration caused by a construction machine", *Appl Acoust*, **72**(4), pp. 151-156 (2011).
19. Beskos, D.E., Dasgupta, B. and Vardoulakis, I.G. "Vibration isolation using open or filled trenches, Part 1: 2-D Homogeneous Soil", *Comp. Mech.*, **1**(1), pp. 43-63 (1986).
20. Yang, Y.B. and Hung, H.H., *Wave Propagation for Train-Induced Vibrations: A Finite/Infinite Element Approach*, Singapore: World Scientific Publishing Co. Pte. (2008).
21. Esmaeili, M., Zakeri, J.A. and Mosayebi, S.A. "Effect of V-shaped trenches to reduce vibrations due to step load of bogie", *Journal of Transportation (Engineering)*, **3**(1), pp. 1-15 (in Persian) (2011).
22. Mosayebi, S.A. "Reduction of train induced vibrations on the surrounding buildings by using trenches", Master's Thesis (Supervisors: Dr. Zakeri and Dr. (Esmaeili), Iran University of Science and Technology (in Persian) (2011).